

四旋翼无人机的建模与控制

孙琦

摘要: 本文对四旋翼无人机的建模与控制进行了较为详细的讲解。本文在第二节中详细介绍了无人机的动力学模型, 在第三节中讲解了四旋翼无人机的拉力模型。针对位置控制和姿态控制, 本文在第五节和第六节中分别介绍了基于欧拉角和旋转矩阵的 PID 位置控制器和 PID 姿态控制器, 并对基于欧拉角的位置和姿态控制器进行了仿真, 取得了较为满意的结果。

关键词: 四旋翼; 建模; PID 控制

1 引言

采用地球系和机体系两种坐标系, 其关系如下图:

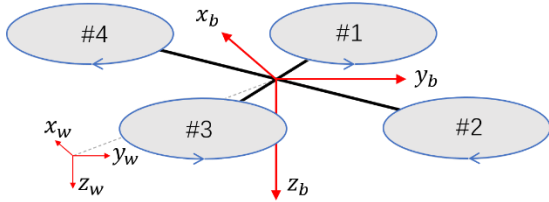


图 1-1 地球系和机体系

为方便建模, 作如下设定:

- (1) 无人机是刚体。
- (2) 无人机的质量和转动惯量不变。
- (3) 无人机的几何中心与重心一致。
- (4) 无人机受到的重力沿 z_c 方向, 螺旋桨拉力沿 z_b 负方向。
- (5) 无人机奇数号桨逆时针转动, 偶数号桨顺时针转动, 如图 1 所示。

2 无人机动力学模型

已知, 位置与速度有如下关系:

$$\dot{\mathbf{p}}_e = \mathbf{v}_e \quad (2.1)$$

基于无人机姿态的 3 种表示方法, 可以建立相应的 3 种刚体运动学模型: 欧拉角模型、旋转矩阵模型和四元数模型。

欧拉角模型:

$$\begin{cases} \dot{\mathbf{p}}_e = \mathbf{v}_e \\ \dot{\boldsymbol{\theta}} = \mathbf{W} \cdot \boldsymbol{\omega}_b \end{cases} \quad (2.2)$$

旋转矩阵模型:

$$\begin{cases} \dot{\mathbf{p}}_e = \mathbf{v}_e \\ \dot{\mathbf{R}} = \mathbf{R}[\boldsymbol{\omega}_b]_{\times} \end{cases} \quad (2.3)$$

其中 \mathbf{R} 为旋转矩阵, 具体表示为

$$\mathbf{R} = \begin{bmatrix} c\theta c\psi & c\psi s\theta s\phi - s\psi c\phi & c\psi s\theta c\phi + s\psi s\phi \\ c\theta s\psi & s\psi s\theta s\phi + c\psi c\phi & s\psi s\theta c\phi - c\psi s\phi \\ -s\theta & s\phi c\theta & c\phi c\theta \end{bmatrix} \quad (2.4)$$

篇幅限制, 这里将 \sin 简写为 s , \cos 简写为 c 。

四元数模型:

$$\begin{cases} \dot{\mathbf{p}}_e = \mathbf{v}_e \\ \dot{q}_0 = -\frac{1}{2} \mathbf{q}_v^T \cdot \boldsymbol{\omega}_b \\ \dot{\mathbf{q}}_v = \frac{1}{2} (q_0 \mathbf{I}_3 + [\mathbf{q}_v]_{\times}) \cdot \boldsymbol{\omega}_b \end{cases} \quad (2.5)$$

接着建立无人机的动力学模型。对无人机进行受力分析, 有

$$\dot{\mathbf{v}}_e = g \mathbf{z}_e - \frac{f}{m} \mathbf{z}_{b,e} \quad (2.6)$$

无人机机体坐标系和地球系之间可以通过旋转矩阵转换, 有 $\mathbf{z}_{b,e} = \mathbf{R} \cdot \mathbf{z}_e$, 代入式 2.6, 得到无人机的位置动力学模型:

$$\dot{\mathbf{v}}_e = g \mathbf{z}_e - \frac{f}{m} \mathbf{R} \mathbf{z}_e + \mathbf{f}_{disturb} \quad (2.7)$$

其中 $\mathbf{f}_{disturb}$ 为扰动所产生的三轴的力。

根据欧拉方程, 基于假设 (1) ~ (3), 可以建立如下姿态动力学方程:

$$\mathbf{J} \cdot \dot{\boldsymbol{\omega}}_b = -\boldsymbol{\omega}_b \times (\mathbf{J} \cdot \boldsymbol{\omega}_b) + \mathbf{G}_a + \boldsymbol{\tau} + \boldsymbol{\tau}_{disturb} \quad (2.8)$$

其中, $\boldsymbol{\tau} = [\tau_x \ \tau_y \ \tau_z]^T$ 是螺旋桨在机体上产生的力矩, \mathbf{J} 表示无人机的转动惯量, \mathbf{G}_a 表示陀螺力矩, $\boldsymbol{\tau}_{disturb}$ 为扰动所产生的三轴力矩。陀螺力矩的符号与螺旋桨的旋转方向有关。单个螺旋桨产生的陀螺力矩可表示为:

$$\mathbf{G}_{a,k} = J_{RP}(\boldsymbol{\omega}_b \times \mathbf{z}_e)(-1)^{k+1} \omega_k \quad (2.9)$$

其中, J_{RP} 表示整个电机转子和螺旋桨绕转轴的总转动惯量, ω_k 表示第 k 个螺旋桨的角速度。

联立式 2.2、式 2.7 和式 2.8 可以得到无人机的欧拉角刚体模型:

$$\begin{cases} \dot{\mathbf{p}}_e = \mathbf{v}_e \\ \dot{\mathbf{v}}_e = g\mathbf{z}_e - \frac{f}{m}\mathbf{R}\mathbf{z}_e + \mathbf{f}_{disturb} \\ \dot{\boldsymbol{\theta}} = \mathbf{W} \cdot \boldsymbol{\omega}_b \\ \mathbf{J} \cdot \dot{\boldsymbol{\omega}}_b = -\boldsymbol{\omega}_b \times (\mathbf{J} \cdot \boldsymbol{\omega}_b) + \mathbf{G}_a + \boldsymbol{\tau} + \boldsymbol{\tau}_{disturb} \end{cases} \quad (2.10)$$

联立式 2.3、式 2.7 和式 2.8 可以得到无人机的旋转矩阵刚体模型：

$$\begin{cases} \dot{\mathbf{p}}_e = \mathbf{v}_e \\ \dot{\mathbf{v}}_e = g\mathbf{z}_e - \frac{f}{m}\mathbf{R}\mathbf{z}_e + \mathbf{f}_{disturb} \\ \dot{\mathbf{R}} = \mathbf{R}[\boldsymbol{\omega}_b]_{\times} \\ \mathbf{J} \cdot \dot{\boldsymbol{\omega}}_b = -\boldsymbol{\omega}_b \times (\mathbf{J} \cdot \boldsymbol{\omega}_b) + \mathbf{G}_a + \boldsymbol{\tau} + \boldsymbol{\tau}_{disturb} \end{cases} \quad (2.11)$$

联立式 2.5、式 2.7 和式 2.8 可以得到无人机的四元数刚体模型：

$$\begin{cases} \dot{\mathbf{p}}_e = \mathbf{v}_e \\ \dot{\mathbf{v}}_e = g\mathbf{z}_e - \frac{f}{m}\mathbf{R}\mathbf{z}_e + \mathbf{f}_{disturb} \\ \dot{q}_0 = -\frac{1}{2}\mathbf{q}_v^T \cdot \boldsymbol{\omega}_b \\ \dot{\mathbf{q}}_v = \frac{1}{2}(\mathbf{q}_0\mathbf{I}_3 + [\mathbf{q}_v]_{\times}) \cdot \boldsymbol{\omega}_b \\ \mathbf{J} \cdot \dot{\boldsymbol{\omega}}_b = -\boldsymbol{\omega}_b \times (\mathbf{J} \cdot \boldsymbol{\omega}_b) + \mathbf{G}_a + \boldsymbol{\tau} + \boldsymbol{\tau}_{disturb} \end{cases} \quad (2.12)$$

3 无人机拉力模型

当知道螺旋桨转速时，可以通过控制效率模型计算出拉力和力矩。其逆过程称为控制分配模型，当控制器计算出期望的拉力和力矩时，可以通过控制分配模型计算出所需的螺旋桨速度。

单个螺旋桨的拉力可由下式表示

$$T_i = c_T \omega_i^2 \quad (3.1)$$

其中， $c_T = 1/4\pi^2 \cdot \rho D_p^4 C_T$ 。 D_p 螺旋桨直径； C_T 为电机的拉力系数，可以通过实验测得； ρ 为飞行环境空气密度，可由下式计算得出

$$\rho = \frac{273\rho_0}{273 + T_t} \left(1 - 0.0065 \frac{h}{273 + T_t}\right)^{5.2561} \quad (3.2)$$

其中， $\rho_0 = 1.293\text{kg/m}^3$ 为标准大气密度， T_t 为当前温度， h 为飞行海拔高度。

单个螺旋桨反扭矩的静态模型表示为

$$M_i = c_M \omega_i^2 \quad (3.3)$$

其中， $c_M = 1/4\pi^2 \cdot \rho D_p^5 C_M$ ， C_M 也通过实验确定。其动态模型为

$$J_{RP}\dot{\omega}_i = -c_M \omega_i^2 + \tau_i \quad (3.4)$$

其中， τ_i 表示作用在螺旋桨 i 上的，根据牛顿第三定律，其反扭矩与作用在螺旋桨上的力矩大小相等，即 $\tau_i = M_i$ ，所以

$$M_i = c_M \omega_i^2 + J_{RP}\dot{\omega}_i \quad (3.5)$$

四旋翼无人机的总拉力可表示为

$$f = \sum_{i=1}^4 T_i = c_T(\omega_1^2 + \omega_2^2 + \omega_3^2 + \omega_4^2) \quad (3.6)$$

其螺旋桨产生的力矩为

$$\begin{cases} \tau_x = dc_T \left(\frac{\sqrt{2}}{2} \omega_1^2 - \frac{\sqrt{2}}{2} \omega_2^2 - \frac{\sqrt{2}}{2} \omega_3^2 + \frac{\sqrt{2}}{2} \omega_4^2 \right) \\ \tau_y = dc_T \left(\frac{\sqrt{2}}{2} \omega_1^2 + \frac{\sqrt{2}}{2} \omega_2^2 - \frac{\sqrt{2}}{2} \omega_3^2 - \frac{\sqrt{2}}{2} \omega_4^2 \right) \\ \tau_z = c_M(\omega_1^2 - \omega_2^2 + \omega_3^2 - \omega_4^2) \end{cases} \quad (3.7)$$

其中， d 为机体中心与电机中心的距离。由式 3.6 和式 3.7 可以得到无人机的拉力和力矩模型

$$\begin{bmatrix} f \\ \tau_x \\ \tau_y \\ \tau_z \end{bmatrix} = \begin{bmatrix} c_T & c_T & c_T & c_T \\ \frac{\sqrt{2}}{2}dc_T & -\frac{\sqrt{2}}{2}dc_T & -\frac{\sqrt{2}}{2}dc_T & \frac{\sqrt{2}}{2}dc_T \\ \frac{\sqrt{2}}{2}dc_T & \frac{\sqrt{2}}{2}dc_T & -\frac{\sqrt{2}}{2}dc_T & -\frac{\sqrt{2}}{2}dc_T \\ c_M & -c_M & c_M & -c_M \end{bmatrix} \begin{bmatrix} \omega_1^2 \\ \omega_2^2 \\ \omega_3^2 \\ \omega_4^2 \end{bmatrix} \quad (3.8)$$

4 无人机位置控制

无人机的底层飞行控制分为四个层次，分别为位置控制、姿态控制、控制分配和电机控制，如图 4-1 所示。

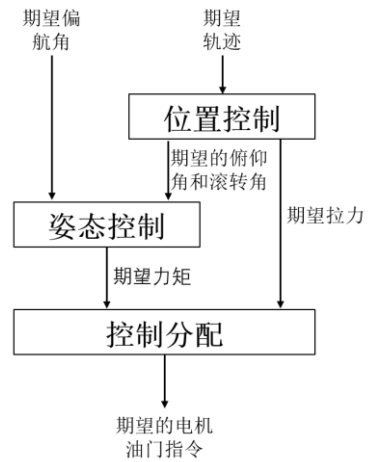


图 4-1 无人机飞行控制框架

4.1 方法一：欧拉角作为输出的 PID 控制

欧拉角作为输出时，无人机的闭环控制框架如图 4-2 所示。

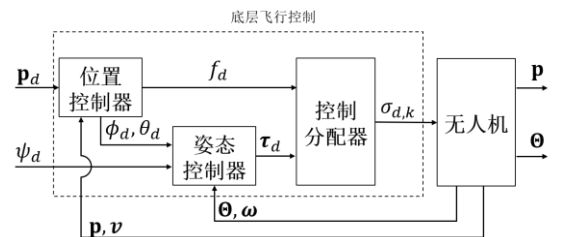


图 4-2 欧拉角作为输出的无人机闭环控制框图

简化式 2.10 表示的模型，忽略 $-\omega_b \times (J \cdot \omega_b) + G_a$ 项，得到如下简化模型：

$$\begin{cases} \dot{\mathbf{p}}_e = \mathbf{v}_e \\ \dot{\mathbf{v}}_e = g\mathbf{z}_e - \frac{f}{m}R\mathbf{z}_e \\ \dot{\boldsymbol{\theta}} = \mathbf{W} \cdot \boldsymbol{\omega}_b \\ \mathbf{J} \cdot \dot{\boldsymbol{\omega}}_b = \boldsymbol{\tau} \end{cases} \quad (4.1)$$

对其进行小角度简化，可以得到三个线性模型，即水平位置通道模型、高度通道模型和姿态模型。

水平位置通道模型：

$$\begin{cases} \dot{\mathbf{p}}_h = \mathbf{v}_h \\ \dot{\mathbf{v}}_h = -g\mathbf{A}_\psi \boldsymbol{\theta}_h \end{cases} \quad (4.2)$$

其中， $\mathbf{p}_h = \begin{bmatrix} p_x \\ p_y \end{bmatrix}$ ， $\mathbf{R}_\psi = \begin{bmatrix} \cos\psi & -\sin\psi \\ \sin\psi & \cos\psi \end{bmatrix}$ ， $\mathbf{A}_\psi =$

$$\mathbf{R}_\psi \begin{bmatrix} 0 & 1 \\ -1 & 0 \end{bmatrix}, \boldsymbol{\theta}_h = \begin{bmatrix} \phi \\ \theta \end{bmatrix}.$$

高度通道模型：

$$\begin{cases} \dot{p}_z = v_z \\ \dot{v}_z = g - \frac{f}{m} \end{cases} \quad (4.3)$$

姿态模型：

$$\begin{cases} \dot{\boldsymbol{\theta}}_h = \boldsymbol{\omega} \\ \mathbf{J} \cdot \dot{\boldsymbol{\omega}}_b = \boldsymbol{\tau} \end{cases} \quad (4.4)$$

(1) 传统 PID 控制器

欧拉角作为输出，最终需要产生期望的欧拉角 ϕ_d 、 θ_d 和拉力 f_d 。

针对水平通道模型 4.2，设计期望角度 $\boldsymbol{\theta}_{hd} = [\phi_d \ \theta_d]^T$ ，误差定义为

$$\mathbf{e}_{p_h} \triangleq \mathbf{p}_h - \mathbf{p}_{hd} \quad (4.5)$$

期望的过度过程如下：

$$\ddot{\mathbf{e}}_{p_h} = -K_{p_{hd}}\dot{\mathbf{e}}_{p_h} - K_{p_{hp}}\mathbf{e}_{p_h} \quad (4.6)$$

将式 4.5 求二阶导代入 4.6，得到

$$\ddot{\mathbf{p}}_h = \ddot{\mathbf{p}}_{hd} - K_{p_{hd}}\dot{\mathbf{e}}_{p_h} - K_{p_{hp}}\mathbf{e}_{p_h} \quad (4.7)$$

联立式 4.2 和 4.7，可得

$$-g\mathbf{A}_\psi \boldsymbol{\theta}_{hd} = \ddot{\mathbf{p}}_{hd} - K_{p_{hd}}\dot{\mathbf{e}}_{p_h} - K_{p_{hp}}\mathbf{e}_{p_h} \quad (4.8)$$

整理可得

$$\boldsymbol{\theta}_{hd} = -g^{-1}\mathbf{A}_\psi^{-1}(\ddot{\mathbf{p}}_{hd} - K_{p_{hd}}\dot{\mathbf{e}}_{p_h} - K_{p_{hp}}\mathbf{e}_{p_h}) \quad (4.9)$$

针对高度通道，定义误差为

$$\mathbf{e}_{p_z} \triangleq p_z - p_{zd} \quad (4.10)$$

期望的过度过程如下：

$$\ddot{e}_{p_z} = -K_{p_{zd}}\dot{e}_{p_z} - K_{p_{zp}}e_{p_z} \quad (4.11)$$

与水平通道同理，可以得到拉力的控制器

$$f_d = mg - m(\ddot{p}_{zd} - k_{p_{zd}}\dot{e}_{p_z} - k_{p_{zp}}e_{p_z}) \quad (4.12)$$

(2) 加饱和的 PID 控制器

水平通道：

针对 $\dot{\mathbf{p}}_h = \mathbf{v}_h$ ，设计 \mathbf{v}_h 的期望值 \mathbf{v}_{hd} ，如下式所示

$$\mathbf{v}_{hd} = K_{p_h}(\mathbf{p}_{hd} - \mathbf{p}_h) \quad (4.13)$$

于是定义 $\mathbf{e}_{v_h} \triangleq \mathbf{v}_h - \mathbf{v}_{hd}$ ，加上饱和函数，得

$$\mathbf{e}_{v_h} = \text{sat}_{\text{gd}}(\mathbf{v}_h - \mathbf{v}_{hd}, a_1) \quad (4.14)$$

这里的 $\text{sat}_{\text{gd}}()$ 为饱和函数，定义为：

$$\text{sat}_{\text{gd}}(\mathbf{u}, a) \triangleq \begin{cases} \mathbf{u}, & \|\mathbf{u}\|_\infty \leq a \\ a \frac{\mathbf{u}}{\|\mathbf{u}\|_\infty}, & \|\mathbf{u}\|_\infty > a \end{cases}$$

其中， $\|\mathbf{u}\|_\infty \triangleq \max(|u_1|, \dots, |u_n|)$ 。

针对 $\dot{\mathbf{v}}_h = -g\mathbf{A}_\psi \boldsymbol{\theta}_h$ ，类似于式 4.8，采用如下 PID 控制器：

$$-g\mathbf{A}_\psi \boldsymbol{\theta}_{hd} = -K_{v_{hp}}\mathbf{e}_{v_h} - K_{v_{hi}} \int \mathbf{e}_{v_h} - K_{v_{hd}}\dot{\mathbf{e}}_{v_h} \quad (4.15)$$

可以推导期望的姿态角如下：

$$\boldsymbol{\theta}_{hd} = g^{-1}\mathbf{A}_\psi^{-1} \left(K_{v_{hp}}\mathbf{e}_{v_h} + K_{v_{hi}} \int \mathbf{e}_{v_h} + K_{v_{hd}}\dot{\mathbf{e}}_{v_h} \right) \quad (4.16)$$

加上饱和函数，得水平通道控制器：

$$\boldsymbol{\theta}_{hd} = \text{sat}_{\text{gd}}(g^{-1}\mathbf{A}_\psi^{-1} (K_{v_{hp}}\mathbf{e}_{v_h} + K_{v_{hi}} \int \mathbf{e}_{v_h} + K_{v_{hd}}\dot{\mathbf{e}}_{v_h}), a_2) \quad (4.17)$$

高度通道：

类似于水平通道，设计 v_z 期望值为

$$v_{zd} = -k_{p_z}(p_z - p_{zd}) \quad (4.18)$$

定义 $\mathbf{e}_{v_z} \triangleq v_z - v_{zd}$ ，加上饱和函数

$$\mathbf{e}_{v_z} = \text{sat}_{\text{gd}}(v_z - v_{zd}, a_3) \quad (4.19)$$

对于期望的拉力，采用如下 PID 控制器：

$$g - \frac{f_d}{m} = -k_{v_{zp}}\mathbf{e}_{v_z} - k_{v_{zi}} \int \mathbf{e}_{v_z} - k_{v_{zd}}\dot{\mathbf{e}}_{v_z} \quad (4.20)$$

整理得到期望的拉力如下：

$$f_d = m \left(g + k_{v_{zp}}\mathbf{e}_{v_z} + k_{v_{zi}} \int \mathbf{e}_{v_z} + k_{v_{zd}}\dot{\mathbf{e}}_{v_z} \right) \quad (4.21)$$

加上饱和函数：

$$f_d = \text{sat}_{\text{gd}} \left(m \left(g + k_{v_{zp}}\mathbf{e}_{v_z} + k_{v_{zi}} \int \mathbf{e}_{v_z} + k_{v_{zd}}\dot{\mathbf{e}}_{v_z} \right), a_4 \right) \quad (4.22)$$

4.2 方法二：旋转矩阵作为输出的 PID 控制

旋转矩阵作为输出时，无人机的闭环控制框架如图 4-3 所示。

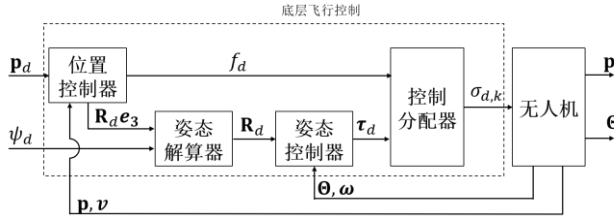


图 4-3 旋转矩阵作为输出的无人机闭环控制框图

旋转矩阵作为输出，最终产生期望的旋转矩阵 R_d 和拉力 f_d 。

已知基于旋转矩阵描述的姿态运动学方程为

$$\dot{R} = R[\omega_b]_{\times} \quad (4.23)$$

定义旋转矩阵 $R \triangleq [r_1 \ r_2 \ r_3]$ ，期望的旋转矩阵 $R_d \triangleq [r_{1,d} \ r_{2,d} \ r_{3,d}]$ 。根据式 4.1 中的第一个和第二个式子，期望的 R_d 和 f_d 需满足

$$ge_3 - \frac{f_d}{m} r_{3,d} = a_d \quad (4.24)$$

其中， a_d 为期望的加速度，可由下式得到：

$$a_d = \begin{bmatrix} \text{sat}_{\text{gd}} \left(\left(-K_{v_h} p_{e_{v_h}} - K_{v_h} \int e_{v_h} - K_{v_h} \dot{e}_{v_h} \right), a_5 \right) \\ \text{sat}_{\text{gd}} \left(\left(-k_{v_z} p_{e_{v_z}} - k_{v_z} \int e_{v_z} - k_{v_z} \dot{e}_{v_z} \right), a_6 \right) \end{bmatrix} \quad (4.25)$$

其中， $e_{v_h} = \text{sat}_{\text{gd}}(v_h - v_{hd}, a_7)$ ， $e_{v_z} = \text{sat}_{\text{gd}}(v_z - v_{zd}, a_8)$ ， $a_5, a_6, a_7, a_8 \in \mathbb{R}_+$ 。

由式 4.24 可得

$$r_{3,d} = \frac{m(ge_3 - a_d)}{f_d}$$

因为 $r_{3,d}$ 为正交矩阵的一列，故其满足 $r_{3,d}^T r_{3,d} = 1$ ，所以

$$r_{3,d} = \frac{ge_3 - a_d}{\|ge_3 - a_d\|} \quad (4.26)$$

此时， $r_{3,d}$ 已经确定，为获取 R_d ，可以有两种方法，一种基于小角度假设，一种适用于大角度。

(1) 小角度情况

为获取 R_d ，还需确定 $r_{1,d}$ 和 $r_{2,d}$ 中的一个。根据旋转矩阵定义

$$r_1 = \begin{bmatrix} \cos\theta \cos\psi \\ \cos\theta \sin\psi \\ \sin\theta \end{bmatrix} \quad (4.27)$$

基于小角度假设，对应的期望向量 $r_{1,d}$ 近似为

$$r_{1,d} \approx \bar{r}_{1,d} = \begin{bmatrix} \cos\psi_d \\ \sin\psi_d \\ 0 \end{bmatrix} \quad (4.28)$$

通过 $\bar{r}_{1,d}$ 和 $r_{3,d}$ ，得到

$$r_{2,d} = \frac{r_{3,d} \times \bar{r}_{1,d}}{\|r_{3,d} \times \bar{r}_{1,d}\|}$$

最后，定义 $r_{1,d} = r_{2,d} \times r_{3,d}$ ，可得

$$R_d = [r_{2,d} \times r_{3,d} \ r_{2,d} \ r_{3,d}] \quad (4.29)$$

(2) 大角度情况

根据式 2.4，向量 $r_{3,d}$ 表示为

$$r_{3,d} = \begin{bmatrix} c\psi_d s\theta_d c\phi_d + s\psi_d s\phi_d \\ s\psi_d s\theta_d c\phi_d - c\psi_d s\phi_d \\ c\phi_d c\theta_d \end{bmatrix} = \begin{bmatrix} a_{11} \\ a_{12} \\ a_{13} \end{bmatrix} \quad (4.30)$$

整理式 4.30 可得

$$\begin{cases} s\phi_d = s\psi_d \cdot a_{11} - c\psi_d \cdot a_{12} \\ s\theta_d c\phi_d = c\psi_d \cdot a_{11} + s\psi_d \cdot a_{12} \\ c\phi_d c\theta_d = a_{13} \end{cases} \quad (4.31)$$

由式 4.31 可以解出

$$\begin{cases} \theta_d = \theta_{d,0} \text{ 或 } \theta_{d,1} \\ \phi_d = \phi_{d,0} \text{ 或 } \phi_{d,1} \end{cases} \quad (4.32)$$

其中

$$\begin{cases} \theta_{d,0} = \arctan2(c\psi_d \cdot a_{11} + s\psi_d \cdot a_{12}, a_{13}) \\ \theta_{d,1} = \arctan2(-c\psi_d \cdot a_{11} - s\psi_d \cdot a_{12}, -a_{13}) \\ \phi_{d,0} = \arcsin(s\psi_d \cdot a_{11} - c\psi_d \cdot a_{12}) \\ \phi_{d,1} = \phi_{d,0} - \text{sign}(\phi_{d,0})\pi \end{cases} \quad (4.33)$$

其中

$$\arctan2(y, x) = \begin{cases} \arctan(y/x), & x > 0 \\ \arctan(y/x) + \pi, & y \geq 0, x < 0 \\ \arctan(y/x) - \pi, & y < 0, x < 0 \\ \pi/2, & y > 0, x = 0 \\ -\pi/2, & y < 0, x = 0 \\ \text{未定义}, & y = 0, x = 0 \end{cases}$$

尽管 θ_d 和 ϕ_d 都有两个可能的取值，但大部分都可以由式 4.30 唯一确定。把 θ_d 、 ϕ_d 和 ψ_d 代入式 2.4 即可得到 R_d 。

式 4.24 两边同时左乘 $r_{3,d}^T$ ，得到期望的拉力

$$f_d = m r_{3,d}^T (ge_3 - a_d) \quad (4.34)$$

若 $f_d \in [f_{\min}, f_{\max}]$ ，则 f_d 相应地变为

$$f_d = \text{sat}_{\text{gd}}(m r_{3,d}^T (ge_3 - a_d)) - \frac{f_{\min} + f_{\max}}{2},$$

$$\frac{f_{\max} - f_{\min}}{2} + \frac{f_{\min} + f_{\max}}{2}$$

5 无人机姿态控制

由图 4-2 无人机的控制框图可以看出，姿态控制是无人机内环控制，位置控制水平通道的输出是姿态控制的期望值。对应位置控制水平通道的两种输出，这里将 θ_{hd} 或 R_d 作为期望。

5.1 基于欧拉角姿态控制

姿态控制的目标是：已知姿态角期望 $\theta_d =$

$[\theta_{hd}^T \ \psi_d^T]^T$, 设计控制器 τ , 使得 $\lim_{t \rightarrow \infty} \|e_\theta(t)\| = 0$, 其中

$e_\theta \triangleq \theta - \theta_d$, θ_{hd} 由位置控制器给点, ψ_d 由任务规划直接给定。已知

$$\dot{\theta} = \omega \quad (5.1)$$

设计角速度的期望 ω_d 为

$$\omega_d = -K_\theta e_\theta \quad (5.2)$$

式 5.1 和式 5.2 构成了角度控制环。定义角速度误差 $e_\omega \triangleq \omega - \omega_d$, 已知

$$J\dot{\omega} = \tau \quad (5.3)$$

设计期望力矩 τ_d , 使得 $\lim_{t \rightarrow \infty} \|e_\theta(t)\| = 0$ 。设计 PID 控制

器

$$\tau_d = -K_{\omega_p} e_\omega - K_{\omega_i} \int e_\omega - K_{\omega_d} \dot{e}_\omega \quad (5.4)$$

式 5.2 和式 5.4 就构成了基于欧拉角的姿态控制器。实际中, 姿态控制同样需要考虑饱和, 姿态控制器变为

$$\begin{cases} e_\omega = \text{sat}_{gd}(\omega - \omega_d, a_9) \\ \tau_d = \text{sat}_{gd}\left(-K_{\omega_p} e_\omega - K_{\omega_i} \int e_\omega - K_{\omega_d} \dot{e}_\omega, a_{10}\right) \end{cases} \quad (5.5)$$

a_9 和 a_{10} 根据实际情况确定。

5.2 基于旋转矩阵的姿态控制

根据旋转矩阵 R 和期望旋转矩阵 R_d , 定义姿态误差矩阵为

$$\tilde{R} \triangleq R^T R_d \quad (5.6)$$

由上式可知, 当且仅当 $R = R_d$ 时, $\tilde{R} = I_3$, 由此可得基于旋转矩阵的姿态控制目标为 $\lim_{t \rightarrow \infty} \|\tilde{R}(t) - I_3\| = 0$ 。

针对姿态运动学方程(式 4.13)和姿态动力学方程(式 4.1 中最后一个式子)进行姿态控制器的设计。定义姿态误差为

$$e_R \triangleq \frac{1}{2} \text{vex}(R_d^T R - R^T T_d) \quad (5.7)$$

其中 vex 函数的定义为

$$\text{vex}([x]_\times) \triangleq x$$

角速度误差为

$$e_\omega \triangleq \omega - R^T R_d \omega_d \quad (5.8)$$

小角度假设下, $\omega_d = \dot{\theta}_d$ 为期望的角速度, 一般情况下可以忽略, 则 $e_\omega = \omega$ 。基于以上定义, 设计如下 PD 控制器:

$$\tau_d = -K_R e_R - K_\omega e_\omega \quad (5.9)$$

上面的控制只能在悬停位置附近保证系统稳定, 为获得更大范围的稳定性, 通过引入误差校正项, 设计如下非线性控制器:

$$\tau_d = -K_R e_R - K_\omega e_\omega - J([\omega]_\times R^T R_d \omega_d - R^T R_d \dot{\omega}_d) \quad (5.10)$$

6 仿真

基于模型式 (2.10), 使用位置控制器式 (4.17) 和式 (4.22), 使用姿态控制器式 (5.5), 使用 python 环境进行仿真实验, 代码、参数设置见附录。仿真结果如下图所示:

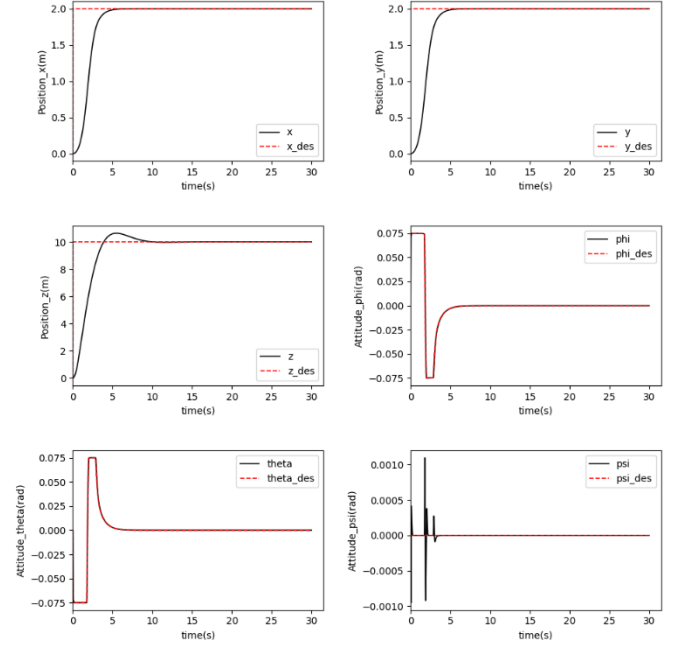


图 6.1 位置定点控制仿真结果

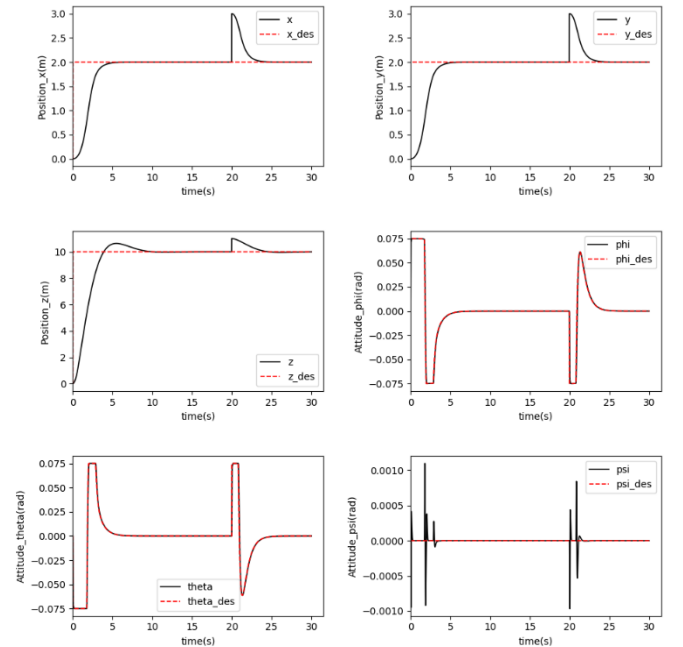


图 6.2 位置定点控制位置扰动仿真结果

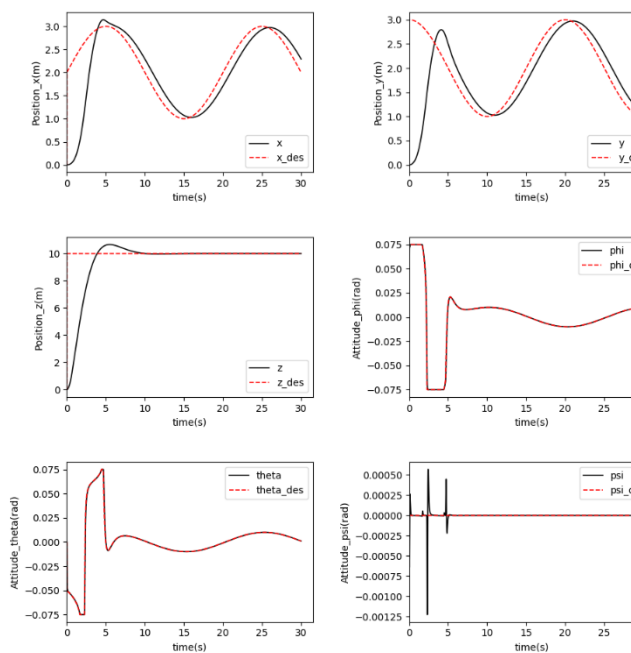


图 6.3 位置跟踪控制仿真结果

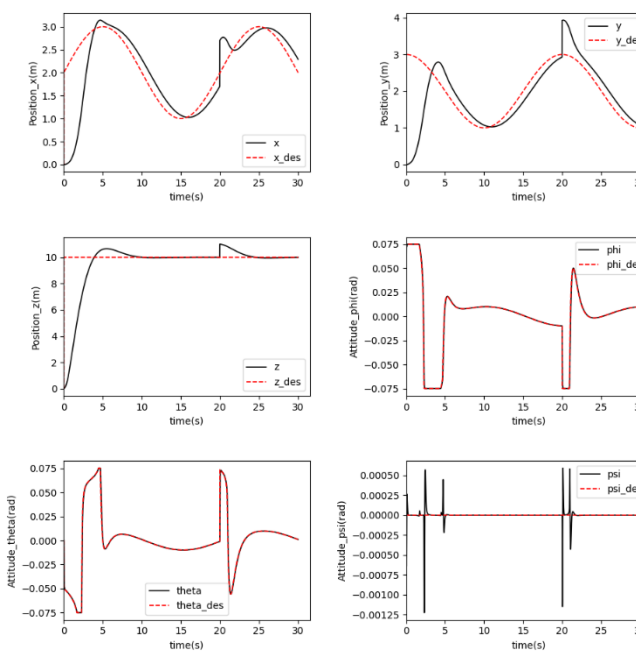


图 6.3 位置跟踪控制加位置扰动仿真结果

由仿真结果图可以看出，位置控制器响应速度快，控制精度高，满足要求可以进行实机实验。

参考文献

- [1] 全权,《多旋翼飞行器设计与控制》.

附录

无人机仿真所用模型参数:

质量(kg)	转动惯量矩阵 $\mathbf{J} = \text{diag}(J_{xx}, J_{yy}, J_{zz})$ (kg*m ²)			
1.5	$J_{xx} = 1.866e-2$ 、 $J_{yy} = 1.866e-2$ 、 $J_{zz} = 4.203e-2$			
轴距 (m)	电机螺旋 桨转动惯量 (kg*m ²)	机身阻力 系数 (N/(m/s) ²)	单桨综合 拉力系数 (N/(rad/s) ²)	单桨综合力 矩系数 (N·m/(rad/s) ²)
0.45	1.15e-5	6.579e-2	1.472e-6	1.421e-8